



Статья

Выделение разнообразных веществ, солюбилизирующих фосфат и цинк. Микроорганизмы из разных сред

Самира Ислас-Вальдес 1,2, † , Антисар Афкаирин 1,† , Бенджамин Ровнер и Хорхе М. Виванко 1,*

- Факультет садоводства и ландшафтной архитектуры, Университет штата Колорадо, Форт-Коллинз, Колорадо 80523. США: lii15@txstate.edu (SI-V.): antisar.afkairin@colostate.edu (AA): ben.rovner@colostate.edu (Бразилия)
- Департамент сельскохозяйственных наук, Техасский государственный университет, Сан-Маркос, Техас 78666, США
- * Переписка: i.vivanco@colostate.edu: Тел.: +1-970-491-7170: Факс: 970-491-4895
- Эти авторы внесли одинаковый вклад в эту работу.

Аннотация: В этом исследовании рассматривается задача поиска новых способов растворения фосфора и цинка для сельскохозяйственных целей. Цель состояла в том, чтобы изолировать PSM (микробы, солюбилизирующие фосфор) и ZnSM (микробы, солюбилизирующие цинк) из различных сред (например, почвенных удобрений, землепользования и систем севооборота) и оценить их способность растворять различные нерастворимые источники P (например, β-трикальцийфосфат (β-TCP), фитат кальция (CaP) и фосфоритная смесь (RP)) и источники цинка (например, карбонат цинка (ZnC), оксид цинка (ZnO) и фосфат цинка (ZnP)). Здесь было выделено и классифицировано по видам 25 изолятов, способных растворять источники P или Zn, с использованием секвенирования 16S pPHK и ITS-области. Примечательно, что наиболее эффективными ПСМ и ZnSM оказались Aspergillus awamori, Fusarium circinatum, Fusarium longifundum и Мисог circinelloides, выделенные из окультуренных почв и почвенных удобрений. Mucor circinelloides продемонстрировал самую высокую солюбилизирующую способность для бульонов, содержащих β-TCP, CaP, RP, ZnO и ZnP, с log2-кратными изменениями в 3,7, 1,8, 8,9, 7,8 и 2,4 соответственно по сравнению с контролем. Что касается ZnC и ZnO, Aspergillus аwamori продемонстрировал самую высокую растворимость Zn с изменением в 2,1 и 3,0 log2 раза. Исследование подчеркивает потенциал этих штаммов в качестве биоудобрений и роль родов Mucor и Fusarium в солюбилизации цинка.



Цитирование: Ислас-Вальдес, С.; Афкаирин, А.; Ровнер, Б.; Виванко, Дж.

М. Выделение

разнообразных фосфат- и цинк-

растворимых микроорганизмов из различных сред. Прил.

Микробиол. 2024, 4, 1042-1056.

https://doi.org/10.3390/applmicrobiol4030071

Научный редактор: Елена Тамбурини

Поступила: 7 июня 2024 г.

Пересмотрено: 2 июля 2024 г.

Принято: 4 июля 2024 г

Опубликовано: 7 июля 2024 г



Копирайт: © 2024 авторов.
Лицензиат MDPI, Базель, Швейцария.
Эта статья находится в открытом доступе.
распространяется на условиях и
условия Creative Commons

Лицензия с указанием авторства (СС BY) (https://creativecommons.org/licenses/by/ 4.0/).

Ключевые слова: Р-солюбилизирующие микроорганизмы; Zn-солюбилизирующие микроорганизмы; поправки к почве; окультуренные почвы; бактерии; грибы

1. Введение

Фосфор (Р) и цинк (Zn) являются важными питательными веществами, необходимыми для развития растений, урожайности и качества зерна [1]. Тем не менее, более 30% возделываемых почв во всем мире являются щелочными с высоким содержанием карбоната кальция, что препятствует усвоению питательных веществ [2–4]. Хотя удобрения Р и Zn устраняют эти недостатки, более 80% применений приводят к образованию труднорастворимых питательных веществ из-за образования нерастворимых форм Р и Zn [5,6]. К ним относятся трикальцийфосфат (TCP) и фитат кальция (CaP) для Р [5,7] и для соединений Zn, таких как смитсонит (ZnC, карбонат цинка), цинкит (ZnO, оксид цинка) и гопеит (ZnP, цинковый карбонат). фосфат) [3]. Эти нерастворимые соединения известны как наследие Р и Zn в почве [8–14].

Ограниченное и неравномерное распределение фосфоритов (RP) резервирует дальнейший рост цен на фосфорные удобрения [15,16]. Кроме того, более 50% почв, возделываемых зерновыми, во всем мире испытывают дефицит цинка, доступного для растений [2,4,5], что затрагивает 30% населения мира [17,18].

Усилия по решению проблемы дефицита цинка посредством агрономической биофортификации зерновых культур (например, пшеницы и кукурузы) сталкиваются с трудностями из-за высоких затрат на цинковые удобрения [2,4].

Использование микроорганизмов, растворяющих Р и Zn (PSM и ZnSM), является экологически чистой и экономически эффективной стратегией переработки устаревших питательных веществ Р и Zn в почве. В эту разнообразную группу входят различные бактерии (например, Bacillus, Pseudomonas, Enterobacter и Burkholderia) и грибы (например, Penicillium, Fusarium и Aspergillus) [5,19]. Основная проблема в PSN

выделение — это обычное использование бета-трикальцийфосфата (β-ТКФ) в качестве единственного источника фосфора для идентификации ПСМ [20,21]. Этот метод обсуждается, поскольку бетатрикальцийфосфат неточно представляет разнообразные и сложные формы недоступного фосфора, обнаруженного в природных почвах, что может привести к расхождениям и завышенным оценкам эффективности ФСМ в лабораторных условиях по сравнению с полевыми условиями. Таким образом, для выделения фосфатсолюбилизирующих микроорганизмов (ПСМ) рекомендуется использовать комбинацию нерастворимых источников фосфора, таких как фитин, фосфорнокислая руда (РФ) и фосфат цинка (ZnP) [22,23]. Это связано с тем, что использование одного источника, такого как трикальцийфосфат (ТКФ), имеет ограничения, поскольку многие штаммы, отобранные таким образом, неэффективны в отношении других нерастворимых соединений фосфора и в сельскохозяйственных условиях. Использование нескольких недоступных источников фосфора увеличивает вероятность выделения разнообразного и эффективного диапазона ПСМ, которые лучше подходят для различных почвенных условий [24-26]. Более того, хотя подходы с использованием одного инокулята, объединяющие PSM и ZnSM, широко изучены, эти подходы обычно проверяют только один тип нерастворимого источника Р и Zn [27-30]. Ограниченная информация доступна о консорциумах PSM и ZnSM, которые также были протестированы, хотя и с единственным нерастворимым источником Р и Zn [31]. Следовательно, использование консорциумов PSM и ZnSM или отдельных штаммов, способных солюбилизировать несколько нерастворимых источников Р и Zn, может оказаться более эффективной стратегией решения проблемы дефицита Р и Zn в сельскохозяйственнь

Понимание плотности популяций P- и Zn-растворимых микроорганизмов (PSM и ZnSM) в различных средах имеет решающее значение для эффективного скрининга этих микробов. Например, было показано, что методы управления почвой, включая внесение удобрений в почву, совмещение культур или севооборот, увеличивают разнообразие и численность PSM и ZnSM [32,33]. Ли и др. [34] сообщили, что PSM и ZnSM более плотно заселены в ризосфере, насыпных почвах, компосте и корнях растений, чем в отложениях или водоемах. Землепользование также играет роль: невозделываемые почвы (например, лесные почвы) содержат более богатое разнообразие микробов по сравнению с сельскохозяйственными, пастбишными и шахтными почвами [20,34].

И наоборот, Фернандес и др. [35] сообщили, что структура сообщества PSM была на 81% выше в возделываемой почве, чем в естественных почвах (например, на лугах), и отметили различия между отдельными возделываемыми почвами. Эта разница была особенно выражена на возделываемых почвах в системах севооборота (бобово-пшеница) по сравнению с системами монокультуры [3]. В отличие от химических удобрений, которые могут отрицательно повлиять на здоровье почвы, набирают популярность удобрения на основе отходов, такие как биогумус и компост [36]. Эти удобрения на основе отходов известны своим богатым микробным разнообразием, включая роды, способные растворять Р и Zn [37–39]. Таким образом, настоящее исследование предположило, что скрининг микробов из разных сред поможет в выборе элитных PSM и ZnSM.

Настоящее исследование представляет новый подход к выделению PSM и ZnSM. Для достижения этой цели наши цели заключались в том, чтобы (1) изолировать PSM и ZnSM из разных сред, в том числе с различным землепользованием, системами севооборота и почвенными улучшениями, и (2) количественно и качественно проверить PSM и ZnSM, способные растворения различных труднорастворимых источников P (т.е. TCP, CaP и RP) и источников Zn (т.е. ZnC, ZnO и ZnP). Эти полезные микробы потенциально могут быть использованы в сельскохозяйственном биоудобрении.

2. Материалы и методы

2.1. Сбор проб почвы и внесение изменений в почву

В мае 2023 года образцы верхнего слоя почвы (глубиной 5–15 см) были собраны в Центре сельскохозяйственных исследований, разработок и образования (ARDEC) Университета штата Колорадо в Форт-Коллинзе, Колорадо (40°36′36,9″ с.ш. и 104°59° с.ш.). '38,2" Вт). Согласно Всемирной справочной базе почвенных ресурсов (WRB), лесная почва (FS) классифицируется как лувисоль, сельскохозяйственные почвы, в том числе пшенично-ячменная почва (WBS), кукурузно-сорговая почва (CSS) и пинто-виговая почва (PCS), относят к черноземам. Эти образцы были получены из сельскохозяйственных почв при различных севооборотах, включая пшеницу-ячмень (ППП), кукурузусорго (КСС) и фасоль пинто-вигна (ПКС). Кроме того, образцы верхнего слоя почвы (глубиной 5–15 см) были взяты из невозделываемой лесной почвы (FS) в каньоне Поудре, расположенном на горе Грейрок в Форт-Коллинзе, штат Колорадо. Один составной образец с каждого участка (т. е. сельскохозяйствен

и невозделанные почвы) был получен из шести проб, которые были случайно собраны и затем гомогенизируют. Исследование также включало изучение двух изменений в почве: чистое органическое удобрение червячного литья (WSA, UNCO Industries, Inc., Юнион Гроув, Висконсин, США) и про овец и торфяной компост (CSA, Permagreen Organics, Co., Арвада, Колорадо, США), оба приобретены у коммерческих поставщиков. Все собранные образцы хранились в

4 С до дальнейшего биологического анализа для оценки их влияния на выделение потенциальных PSM и ZnSM с учетом различных методов управления почвами. Физико-химический Характеристика как образцов почвы, так и почвенных поправок (табл. 1) проводилась с использованием следующие методы: соотношение почвы и воды 1:1 для измерения pH, экстрагируемый DTPA

Zn-метод для анализа цинка, метод потерь при прокаливании для определения органических веществ, и метод Менлиха 3 для определения фосфора. Эти анализы были выполнены Уордом

Laboratories, Inc. (Кирни, Небраска, США). Превращение фосфора в доступную форму

на растения существенно влияют свойства почвы, особенно рН и содержание железа. Эти

Факторы влияют на доступность фосфора путем образования растворимых или нерастворимых комплексов. Для Для выделения эффективных фосфорсолюбилизирующих микроорганизмов (ПСМ) крайне важно выбирайте субстраты, которые точно имитируют естественные почвенные условия. Такой подход обеспечивает что выделенные микроорганизмы эффективны не только в лабораторных условиях, но и также способны повысить доступность фосфора в различных сельскохозяйственных условиях.

Таким образом, при выборе подложки мы руководствовались этими соображениями, направленными на оптимизацию практической эффективности. применимость изолированных ПСМ.

Таблица 1. Физико-химические свойства сред, выбранных для выделения ПСМ и ZnSM.

Параметры	ФС	CSS	PCS WBS CSA WSA					
рН почвы	7.1	8,3	8,6	8.4	8,9	7.2		
Доступный Р (мг кг-1)	15	91	73	65	1746	786		
Доступный Zn (мг кг-1)	1,62	1,46	1,83	1,36	133,5	119,9		
Органическая материя (%)	4.3	2,7	2.6	3.0	19.2	43,5		

ФС: лесная почва; CCS: кукурузно-кукурузная почва; PCS: фасоль пинто – вигна; WBS: пшенично-ячменная почва; CSA: добавка к компостной почве ; WSA: червячная добавка к почве.

2.2. Предварительный скрининг и выделение PSM и ZnSM

Для выделения ПСМ и ZnSM в мае 2023 г. по 1 г каждой почвы или поправки. образец гомогенизировали в 9 мл стерильного 0,85% физиологического раствора с последующим 10-кратным серийным разведение (от 10-1 до 10-10) по модифицированной методике [40]. В результате были приостановлены высевали в трех экземплярах на агар для подсчета чашек (РСА, EM Industries, Inc., Дармштадт, Германия) и инкубировали при 30 С в течение ночи для определения разведения, из которого можно было подсчитайте колониеобразующие единицы (КОЕ) для дальнейших исследований.

Для PSM — аликвота серийного разведения объемом 100 мл с указанием количества жизнеспособных колоний каждого суспензию наносили на фосфат Национального института ботанических исследований (NBRIP). средний агар [41] с добавлением β-трикальцийфосфата (β-TCP) (Sigma-Aldrich, Сент-Луис, Миссури, США), фитат кальция (СаР) (TCI America, Портленд, Орегон, США) или рок фосфат (РФ). Среду NBRIP для RP модифицировали добавлением бромфенолового синего. краситель в концентрации, указанной Li et al. [42] для улучшения визуализации. После семи дни инкубации при 30 С, PSM с прозрачными ореолами (т.е. для β-TCP и СаР) или желтыми ореолами (т.е. для RP) очищали путем пятикратного нанесения штрихов на планшеты со средой NBRIP для получения чистого штаммы. Очищенные штаммы консервировали при -80 С в картофельно-декстрозном бульоне (PDB, Difco Laboratories, Спаркс, Мэриленд, США) с добавлением 50% (по объему) глицерина (Sigma-Aldrich, МО) для дальнейшего анализа.

Аналогичным образом анализировали аликвоту серийного разведения объемом 100 мл с количеством жизнеспособных колоний. оценено для ZnSM на модифицированной среде Пиковской [41] с добавлением 0,1% ZnO (Spectrum Chemical MFG, Нью-Брансуик, Нью-Джерси, США), ZnP (Thermo Fisher Scientific, Уолтем, Массачусетс, США) или ZnC (MP Biomedicals, LLC, Солон, Огайо, США). Модифицированная Пиковская Среда считается наиболее эффективной средой для скрининга ZnSM [29]. Одинаковый К ZnSM применен метод хранения, аналогичный ПСМ.

2.3. Таксономическая характеристика изолированных

штаммов. В ходе предварительного скрининга в июне 2023 г. из различных сред было получено в общей сложности 25 изолятов, проявляющих способность растворять Р или Zn. Среди этих изолятов 7 штаммов бактерий были идентифицированы посредством анализа 16S рДHK, а 18 штаммов грибов были подвергнуты анализу последовательности гена ITS рДHK. Для идентификации бактерий и грибов отдельные колонии каждого штамма высевали на чашки PDA и инкубировали при 30 С в течение ночи для получения свежих культур. Впоследствии планшеты PDA были отправлены для выделения и анализа ДНК с использованием услуг по секвенированию ДНК Сэнгера, предоставляемых Azenta Life Sciences-Genewiz, Inc. (Саут-Плейнфилд, Нью-Джерси, США).

2.4. Окончательный скрининг PSM и ZnSM.

Экспериментальная процедура точно повторяла процедуру предварительного скрининга, за исключением того, что для дальнейшего анализа были выбраны только штаммы, стабильно показавшие хорошие результаты в различных средах Р и Zn. Из первоначальных 25 штаммов, выделенных в ходе предварительного скрининга, в общей сложности шесть штаммов были сохранены для дальнейшего анализа. Эти шесть штаммов прошли дополнительное тестирование как в твердом, так и в жидком NBRIP, а также в модифицированной среде Пиковской для выявления штаммов, способных солюбилизировать два или более нерастворимых источника Р и Zn.

Качественная оценка солюбилизации Р и Zn бактериальными изолятами включала инокуляцию 10 мкл логарифмической бактериальной культуры (посевной материал, доведенный до оптической плотности (OD)600 = 0,4~2,9 × 108 КОЕ мл-1) в центре NBRIP. и модифицированные среды Пиковской, в тех же условиях, что и в эксперименте по предварительному отбору. Для качественной оценки солюбилизации Р и Zn грибными изолятами в центр NBRIP и модифицированной среды Пиковской инокулировали диск диаметром 7 мм . Непривитый NBRIP и модифицированная среда Пиковской служили контролем. Эффективность растворения Р и эффективность растворения Zn рассчитывали по стандартной формуле, как описано Nguyen et al. [43].

Количественная оценка солюбилизации Р и Zn бактериальными изолятами включала инокуляцию 10 мл NBRIP и модифицированного бульона Пиковской (т.е. путем замены β-TCP на источники Zn) на 100 мкл лог-фазной бактериальной культуры [41]. Эти культуры хранили в инкубаторе-шейкере при 200 об/мин в течение семи дней при температуре 30 С. Для количественной оценки солюбилизации Р и Zn изолятами грибов использовали методологию, описанную Mittal et al. [44] было проведено. Вкратце, диск диаметром 7 мм инокулировали в 10 мл NBRIP и модифицированного бульона Пиковской. После инкубации супернатант получали центрифугированием при 10 000 об/мин в течение 5 мин и фильтровали через фильтровальную бумагу Whatman 1 [44]. Затем степень солюбилизации Р определяли с использованием модифицированного метода аскорбиновой кислоты при 882 нм [40,45] и измеряли рН с помощью рН-метра (мультиметр НQ40d, Насh, Лавленд, Колорадо, США). Солюбилизацию Zn анализировали в компании Ward Laboratories, Inc. (Кирни, штат Невада, США).

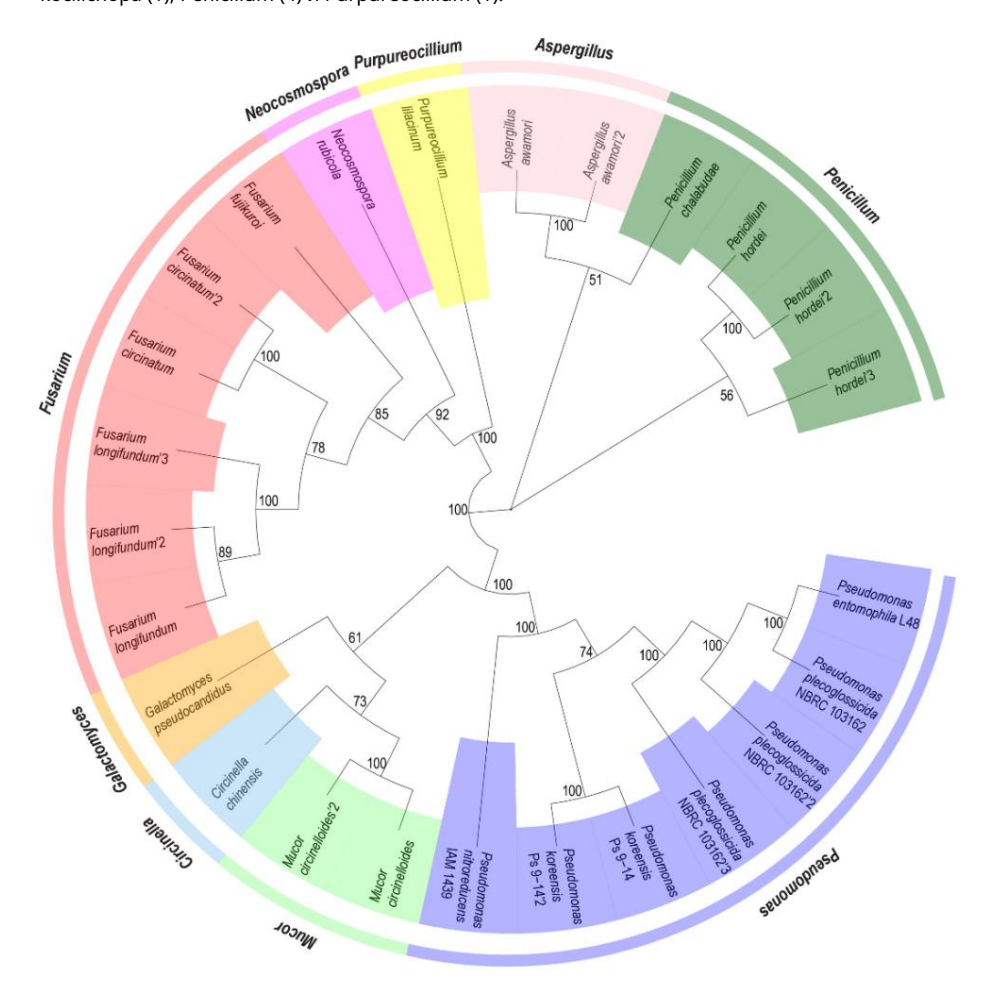
2.5. Статистический анализ.

Филогенетическое дерево было построено с использованием программного обеспечения Меда версии 11 с использованием метода соединения соседей со 100 бутстрап-репликациями. Филогенетическое дерево визуализировали с помощью пакета ggtree [46]. Данные были проанализированы с использованием RStudio Team 2023 версии 4.2.3 (PBC, Бостон, Массачусетс, США). Был проведен однофакторный дисперсионный анализ (ANOVA), а затем апостериорный тест Тьюки HSD. Различия считали значимыми при р < 0,05. Допущения модели, включая однородность дисперсии и нормальность остатков, оценивались с использованием теста Шапиро-Уилка, а гомоскедастичность - с использованием теста Левена. Данные, не соответствующие предположениям (т. е. р <0,05), были преобразованы с использованием преобразований sqrt или log. Кроме того, корреляции между изменениями рН и растворимостью Р или Zn в бульонах были проверены с помощью коэффициента корреляции Пирсона (р <0,05) для нормально распределенных наборов данных. Для данных с ненормальным распределением были рассчитаны коэффициенты корреляции Спирмена.

наборы данных. Для ненормально распределенных данных были рассчитаны коэффициенты корреляц**ии** Спирмена.

33 Реезульваты

33.1. Первоначяльный бкриничил Р. М. Ум. Ти. В М. И. В. Сред



еРипунуной. Филопонительносов архивив состидинення состей изы 20 актипривненных и шинминов состолоси и остородить одружений осфороле и осфора и ос

4, 4, ДЛЯ ЭКПЛЕЛ ТИНЙ ВЕШЕН ЗИИ, 4 1047

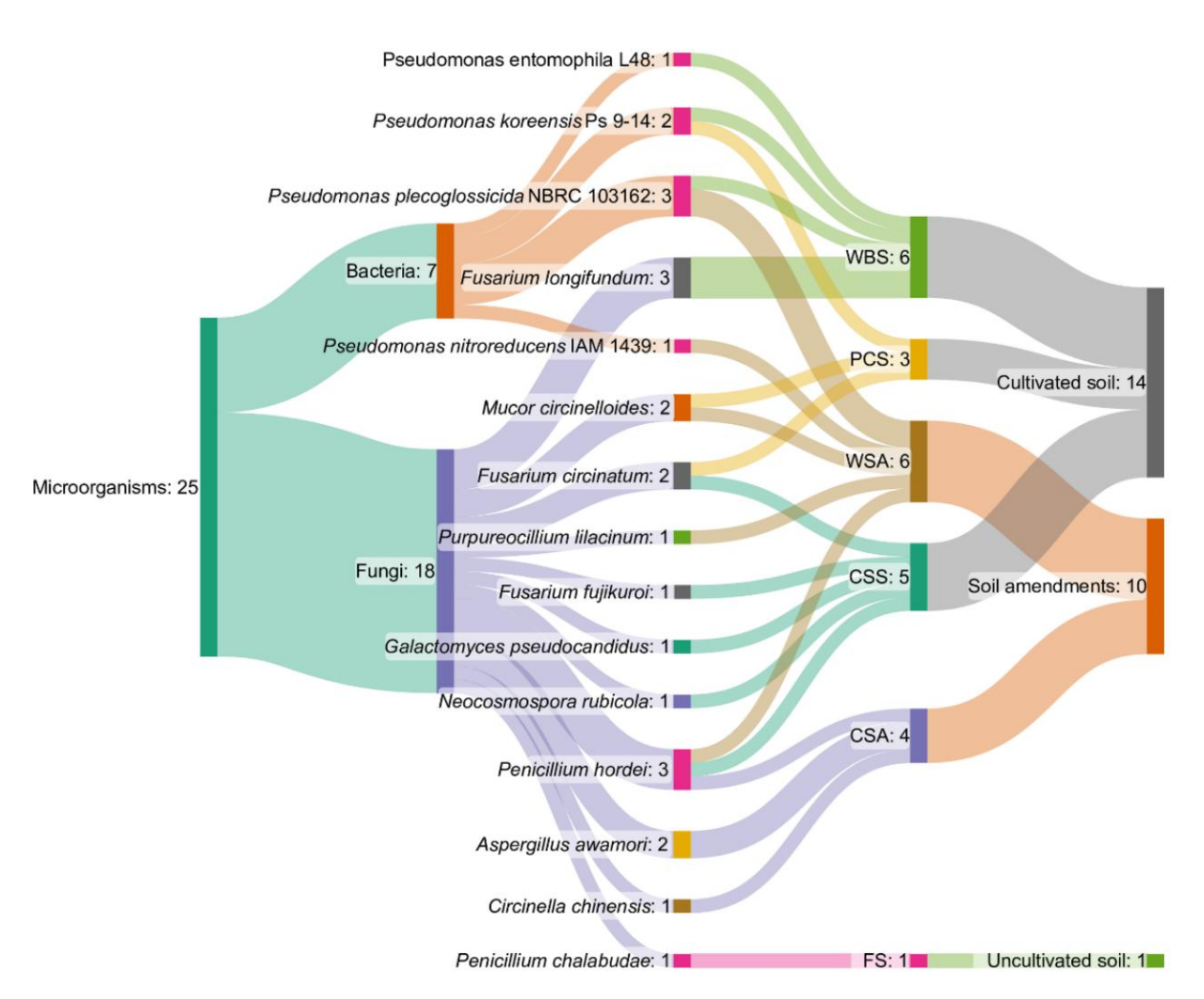


Рисунок 2. Диаграмма Сэнку, показывающая грибковые и бактериальные изоляты в зависимости от их среды. Диаметр линий пропорущоналенной показывающая грибковые и бактериальные изоляты в зависимости от их среды. Диаметр линий пропорущоналенной показывающая грибковые и бактериальные изоляты в зависимости от их среды. Диаметр линий пропорущоналенной показывающая уникамыми выделенных из каждого. различных сред: WBS: появые правличным кредь: WBS: поява пинто-вигны, WSA: червь удобрение для литейной почвы, CSS: кукурузно-сорговая почва, CSA: удобрение для компостной почвы и FS: лесная почва. червячная добавка к почве и FS: лесная почва.

Филогенетический анализ также выявил два штамма Aspergillus awamori и два штамма Mucor. circinelloides со 100% бутстреп-поддержкой (рис. 1). Аналогичные значения начальной загрузки были

В ходе филогене тического ба выпазывания в малогично Fusarium lilacinum h редей по выделять ком срок от три штамма Репісів в малогично Fusarium lilacinum h редей по выделяти как в негохуветных в неокультуренных почвах. Напротивно в малогично Fusarium lilacinum h редей по выделяти как в неокультуренных почвах. Напротивно в мунстренных почвах на почвенных и их окультуренных почвах. Напротивно в мунстренных почвах на почвенных их окультуренных почвах на почвенных их окультуренных почвах на почвенных удобрений, как и из окультуренных почвах. Напротив, мисог сігсіпеllої в почвенных почвенных удобрений, так и из окультуренных почв.

Это исследование проливает свет на распространенность PSM и ZnSM в различных средах. и Neocosmospora Rubics বিশ্বনি প্রাণ্ডি বিশ্বনি কর্মান্ত কর্

Среди 15 видов бактерий и грибов 6 продемонстрировали способность растворять Данное исследование проливает свет на распространенность ПСМ и ZnSM в различных средах, указывая несколько нерастворимых источников Р и/или Zn. В частности, Pseudomonas plecoglossicida NBRC 103162. на их более высокую распростряни все объементых объементых объементых даунинистелях (470%) почвенных почвенных почвенных даунинистелях (470%) почвенных почвенных даунинистелях (470%) почвенных почвенных почвенных даунинистелях (470%) почвенных по

Среди 15 видов бактерий и грибов 6 продемонстрировали способность солюбилизировать mltl nslbl P ndr Zn srcs. Ntbl Psdmns lclsscd NBRC 103162

Machine Translatedebyь Georgleв, демонстрировавших солюбилизацию нескольких нерастворимых источников Р и/или Zn при первоначальном скрининге (рис. 3), подверглись дальнейшей оценке для оценки их способности солюбилизировать все протестированные нерастворимые источники Р и Zn в NBRIP и модифицированной среде Пиковской. Прил. Микробиол. 4- планшетный анализ показал, что Pseudomonas plecoglossicida NBRC 103162, Aspergillus awamori и 1048

Репicillum hordei растворяют все три протестированных нерастворимых источника фосфора с различной эффективностью (рис. 4). Репicillum hordei показал высокую эффективность в солюбилизации РП, тогда как dum среди штаммов грибов солюбилизировал два или три нерастворимых источника цинка (рис. 3). Pseudomonas plecoglossicida NBRC превзошла минерализацию СаР. Оба штамма, наряду с Aspergillus awamori, Aspergillus awamori, Mucor circinelloides и Penicillum hordei продемонстрировали снособность демонстрировали сходнулююмиямими въстъбримые и телейный ричтем Енедовите межет были выпособещающим изодяя ощентя солюбоюми вацию выбрюта ировень в востобность и представорать об выпособенность в расты в выстрования в выпособенность в выпособенн

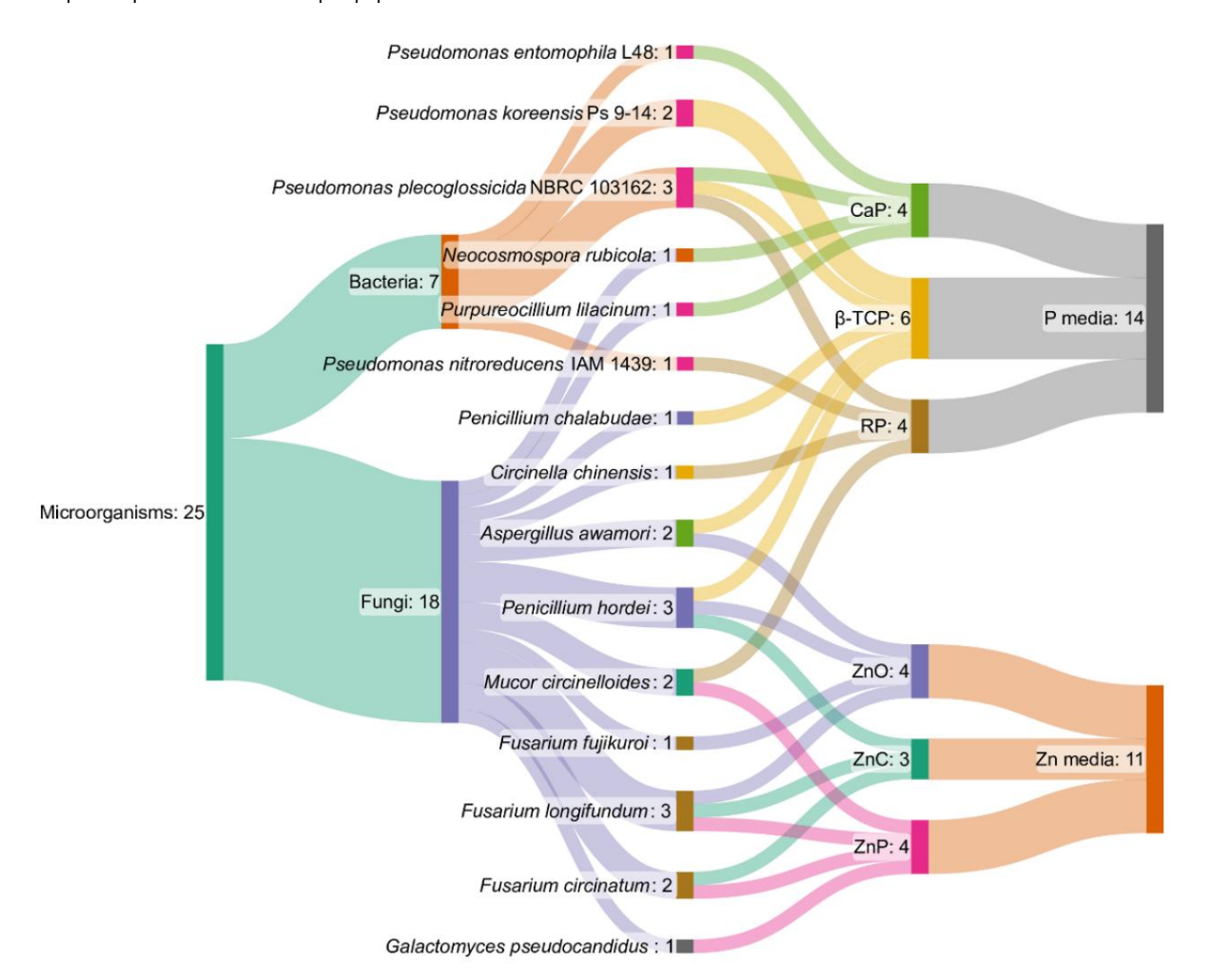


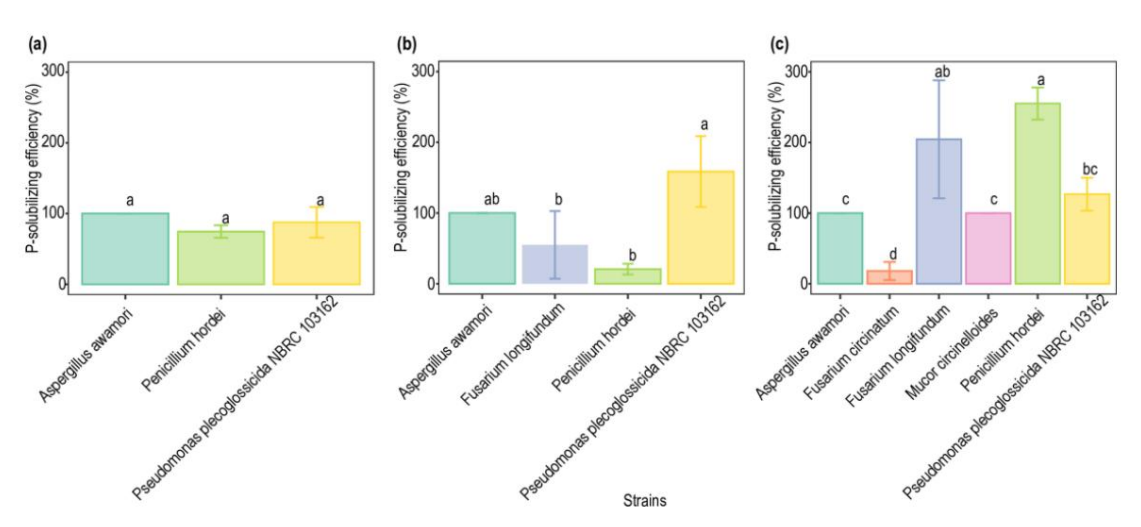
Рисунок 3. Диаграмма графидыберькимиливеркиния и количеркину приника правиденных изыкторыв изыкторыв изыкторыв изыкторыв изыкторыв изыкторыв изыкторыв изыкторыв и количестворять Р-илии Изправонары и количествори и количествору приними и способности пропорционально количествору приними и количествор приними и количествор и количествор приними и коли

3.2. Скрининг PSM и ZnSM с несколькими недоступными источниками Р и Zn

Шесть штаммов, демонстрирующих солюбилизацию нескольких нерастворимых источников Р и/или Zn. при первоначальном скрининге (рис. 3) прошли дальнейшую оценку для оценки своих возможностей растворить все протестированные нерастворимые источники Р и Zn в НБРИП и модифицированной Пиковской СМИ. Планшетный анализ показал, что Pseudomonas plecoglossicida NBRC 103162, Aspergillus awamori и Penicillum hordei солюбилизировали все три протестированных нерастворимых источника фосфора с различной эффективность (рис. 4). Penicillum hordei показал высокую эффективность в солюбилизации PП, тогда как Pseudomonas plecoglossicida NBRC превосходно показала минерализацию CaP. Оба штамма вместе с Aspergillus awamori демонстрировал аналогичную солюбилизацию β-TCP. В частности, Fusarium longifundum. может быть многообещающим изолятом для солюбилизации RP, даже несмотря на то, что он не способен солюбилизировать два других протестировали нерастворимые источники фосфора.

бинл. 2024, 4, НА ЭКСПЕРИНУ

Прил. Микробиол. 2024, 4



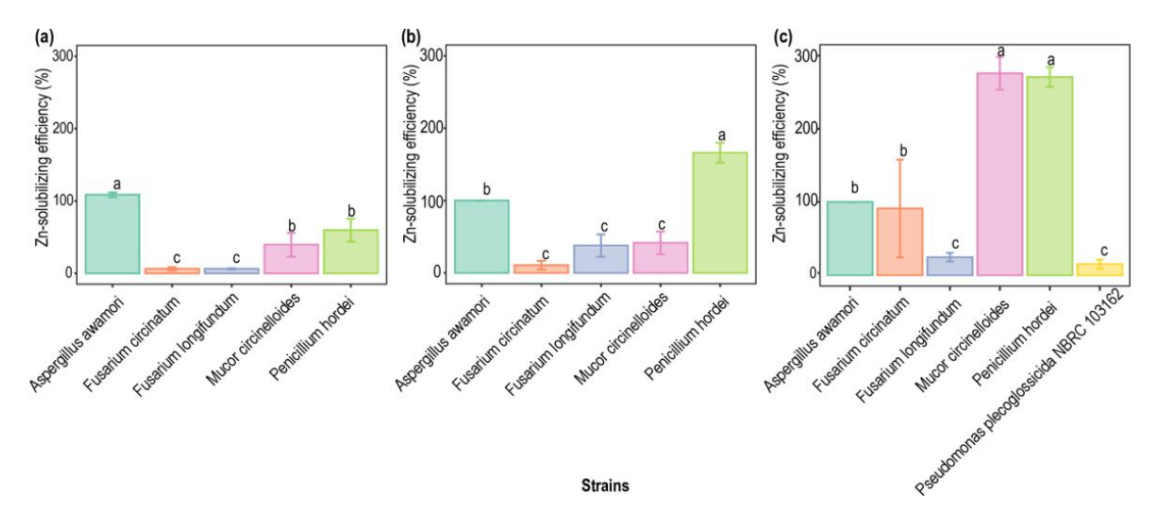
PUSHORKAMARKETIJBHORTED PROBURTURIN SUFTHINIKULTENKURJAKTERPAR NERRA-DEBIKADARKETIJBHORTED PUCJHOK TRIKADAHVÜD KRRITADI BUKATAR PENGET VERTI PETALE PARTER PORTURI PORTURI PARTER PERMENTARI PERMENTARI PULAK SUFTA NERIP, СОДЕРЖАЩЕЙ СНИКОКАЛЖАСТИВВОКТ ТОТОТЕТЬНЕТИККЕТЕНЦИЙ РЕГЕНДИКАТЕР ТИКОКТИТЕТЬ ВЕЗТЕТЬНЕТИКИТЕТЬ ВЕЗТЕТЬНЕТИКИТЕТЬ ВЕЗТЕТЬНЕТИКОТОТЬ ВЕЗТЕТЬНЕТИКИТЕТЬ ВЕЗТЕТЬНЕТИКИТЕТЬ ВЕЗТЕТЬНЕТИКИТЕТЬ ВЕЗТЕТЬНИКИТЕТЬ ВЕЗТЕТЬНИЙ ВЕЗТЕТЬНИКИТЕТЬ ВЕЗТЕТЬНИКИТЕТЬ ВЕЗТЕТЬНИКИТЕТЬ ВЕЗТЕТЬНИКИТЕТЬ ВЕЗТЕТЬНИКИТЕТЬ ВЕЗТЕТЬНИКИТЕТЬ ВЕЗТЕТЬНИКИТЕТЬ ВЕЗТЕТЬНИКИТЕТЬ ВЕЗТЕТЬ ВЕЗТЕТЬ ВЕЗТЕТЬ ВЕЗТЕТЬНИКИТЕТЬ ВЕЗТЕТЬ ВЕЗТЕТЬ ВЕЗТЕТЬНИКИТЕТЬ ВЕЗТЕТЬ ВЕЗТЕТ

ФРЗНАЦУЮТ-ФНОБУСТОЛНИСТИИ РЕЕНУЛИСТОГО В ВИТОГО В ИНФРЕЩИЕ РЕГОТИВНИИ НОВЕТОВ ПРИМЕНИИ В ВИНГОТИНИИ В ВИНГОТИНИ В ВИНГОТИИ В СТАНДАРТНЫЕ ОШИБКИ. ПРИНЦИИ В СТАНДАРТНЫЕ ОШИБКИ. ПРИНЦИИ В СТАНДАРТНЫЕ ОТ СТАНДАРТНЫЕ ОШИБКИ. ПРИНЦИИ В СТАНДАРТНЫЕ В СТАНДАРТНЫЕ ОТ С

формирование. согласно тесту ANOVA, за которым следует тест Тьюки HSD. Данные для РП были нормализованы по квадратам. корневое преобразование.

Ppavreopethae ชากาละ ยอกคร, тироресуче фтор возитист; те петипитите зуметелей. Деліній ты Рраутворетнае дима на тумней суметельной доберень братите доберень братите доберень братите доберень братите доберень братите доберень братите доберень до

что указывает на его способность растворять различные нерастворимые источники фосфора.



P36ΦΦΕΚΤΑ ADOPEN PARESTANDE BERNA FASE BERNA FOR HER BERNAUEK WEBENAUEK BERNAUK BERNA

преобразования соответственно перед анализом ANOVA.

3-3. Сорининг РУМ и 23-3. Не рининг РУМ и 215 М В жидком бульоне и изменениях рН

Шесть ছাজিরাদামা শর্মানার নার্ত্তামাশ রুপ্রাপ্তরে নার্ত্তামাশ রুপ্রাপ্তরে নার্ত্তামাশ রুপ্রাপ্তরে নার্ত্তামাশ রুপ্রাপ্তরে নার্ত্তামাশ রুপ্রাপ্তর নার্ত্তামাশ রুপ্রাপ্তর নার্ত্তামাশ রুপ্রাপ্তর নার্ত্তামাশ রুপ্রাপ্তর নার্ত্তামাশ রুপ্রাপ্তর নার্ত্তামাশ রুপ্তর ন

Прил. Микробиол.

2024, 4 и привитый штамм. Aspergillus awamori, Fusarium circinatum, Fusarium longifundum,

и Mucor circinelloides продемонстрировали значительную способность к солюбилизации и минерализации в

бульонах NBRIP, содаржаних в тъгр бавли RB и предвавлечию бельство кем любилиза Цнк и кіктів в Цякія выции).

и β-TCP соответствен**ые)- 103 рб2 низжею солонбродием ровдтверхидае, одюних едрализоринный дотохобиос факерадый рясь** СаР и β-TCP соответственно).
использовать различные нерастворять различные нерастворимые источники П.

Источники П.

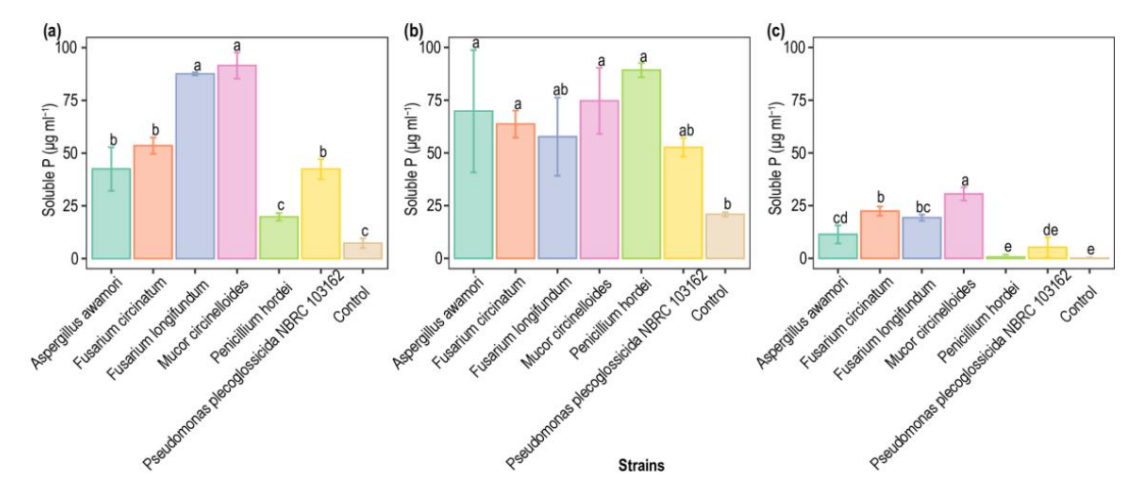


Рисунок б. Концентрация солюбилизированного Р для шести выбранных штаммов и контроля в бульоне NBRIP, содержащем (а) β-ТСР: β-трикальцийфосфат, (b) СаР: фитат кальция и (c) RP: фосфат камня после (а) β-ТСР: β-трикальцийфосфат, (b) СаР: фитат кальция и (c) RP: фосфарит после семь дней инкубаций. Результаты представляют собой среднее значение трех повторов с погрешностью в представляющие стандириней бикиваний (результаты представляют собой среднее значение трех повторов с погрешностью в представляющие стандириней бикиваний (результаты погрешностей. значительная разница провусовые с полосами погрешностей.

значительная разница (р <0,05) согласно тесту ANOVA с последующим тестом Тьюки HSD.

Наблюдаемая солюбилизация Р совпала со сдвигом рН в кислую область после

семь дней инкубации (табл. 2). Mucor circinelloides индуцировал наиболее значительный рН в течение семи СНИЖЕНИЕ β-ТСР (Тарки в регупповорем наиболее значительный рН в течение семи СНИЖЕНИЕ В-ТСР, СаР и RP по сравнению с контролем (-0,5, -0,3 и - 1,0 log2-кратный изменения соответственно). Этот штамм демонстрировал самое низкое значение рН и высокие концентрации соответственно). Этот штамм продемонстрировал самое низкое значение рН и наряду с высокими концентрациями растворимого фосфора, что может указывать на продукцию органических кислот и последующую концентрацию растворимого фосфора в среде, что может указывать на продукцию органических кислот и последующее подкисление. Корреляционный анализ дополнительно подтвердил эту взаимосвязь между рН и подкислением среды. Корреляционный анализ аподтвердил эту взаимосвязь между рН и подкислением сорьемичение солюбилизации р. Отрицательными корреляциями были снижение рН в бульонов и увеличение солюбилизации рна подтвердил эту связь между смуть образовать и в подти солюбилизации рна подтвердил от среды. Корреляция были снижение рН в бульонов NBRIP, содержащих β-ТСР (г = -0,71; р < 0,001) и RP (г = -0,94; р < наблюдается для бульонов NBRIP, содержащих β-ТСР (г = -0,71; р < 0,001) и RP (г = 0,94; р < наблюдается для бульонов NBRIP, содержащих β-ТСР (г = -0,71; р < 0,001) и RP (г = 0,94; р < наблюдается для бульонов непараметрическому корреляционному тесту Спирмена. Однако незначимая корреляция (г = -0,38; р > 0,05) наблюдалась для СаР по Пирсону. Коррелятивная корреляция (г = -0,38; р > 0,05) наблюдалась для СаР по Пирсону. Коррелятивная корреляция (г = -0,38; р > 0,05) наблюдалась для СаР по Пирсону. корреляционный тест.

Таблица 2. Среднее знавлица р. Среднее знавлица р. Среднее знавликов. На бумски представляют собой среднее значение стандарт ошибки (n = 3). Различные буквы в одних и тех же столбцах обозначают знак. Данные представляют собой среднее значение ± стандарт ошибки (n = 3). Различные буквы в одних и тех же столбцах обозначают знак. Данные представляют собой среднее значение ± стандарт ошибки (n = 3). Разлые буквы в одном столбце обозначают достоверная разница (p < 0,05) по данным теста АNOVA с последующим тестом Тьюки НSD.

 Штаммы		β-ТСР	β-ТСР	Кепка	РП Кепка	РΠ	
Aspergillus awamori d Aspergillus		р Н 5,30 ± 0,07 д. arium circinatum 5.50	pH ± 0.02 c Fusa	рН 6,01 ± 0,03 в		рН	С
longifundum 5,25 ± 0,02 Mincimatir ± 0,03 Pe	ൻൻ6 60ide & 0287usa7,08 rel b nicillum hordei 6,37 ± 0,0	najburahameN26des0400	7d Fusarium	i5,84 ± 0,03 д	4,69 ±10,193д 5,84 ± 0,03	5,11 ± 0,05 4,65 ± 0,12	Д
5,88 ± 0,08 Pseudomonas plecoglossicida NBRC				5,51 ± 0,08 e		4,52 ± 0,16	Д
				· ·	5,51 ± 0,08 ^e 6 6,37 ± 6,27 ± 0,09 6	3,69 ± 0,13 6 6,27 ± 0,09	е
	103162	5,1	4 ± 0,02	Д	5,83 ± 0,02 A	5,09 ± 0,01	С
Управление Управление		6,	77 ± 0,14	a	6,75 ± 0,07 a	7,53 ± 0,16	а

5,14 ± 0,02 д.

 $5,83 \pm 0,02$ д $5,09 \pm 0,01$ с

Прил. Микробиол. 2024, 4 1051 6.77 ± 0.14 a 6,75 ± 0,07 a 7,53 ± 0,16 a Контроль

> Среди шести штаммов, оцененных по способности растворять весь протестированный нерастворимый Zn Среди шести штаммов, оцененных по способности солюбилизировать весь протестированный нерастворимый Zn источники, Aspergillus awamori, Fusarium circinatum и Fusarium longifundum продемонстрировали источники, продемонстрировали Aspergillus awamori, Fusarium circinatum и Fusarium longifundum умение растворять их все (рис. 7). Среди этих штаммов Aspergillus awamori УМЕНИР РАСТВОРЯТЬ ИХ ВСЕ (РИС. 7). Среди ЭТИХ ШТАММОВ Aspergillus awamori продемонстрировал самую высокую солюбилизацию ZnC и ZnO по сравнению с контролем, продемонстрировав самую высокую солюбилизацию ZnC и ZnO по сравнению с контролем, продемонстрировав 2,1. Изменение в 2,1 и 3,0 log2 раза соответственно. Между тем, Mucor circinelloides продемонстрировал изменение в 3,1 и 2,0 граза соответственно. Между тем, Mucor circinelloides продемонстрировал изменение в 3,0 граза соответственно. Между тем, Mucor circinelloides продемонстрировал изменение в 3,0 граза соответственно. Между тем, Mucor circinelloides продемонстрировал изменение в 3,0 граза соответственно. Между тем, Mucor circinelloides продемонстрировал изменение в 3,0 граза соответственно. Между тем, Mucor circinelloides продемонстрировал изменение в 3,0 граза соответственно. Между тем, Mucor circinelloides продемонстрировал изменение в 3,0 граза соответственно. Между тем, Mucor circinelloides продемонстрировал изменение в 3,0 граза соответственно. Между тем, Мисог circinelloides продемонстрировал изменение в 3,0 граза соответственно. Между тем, Мисог степенение в 3,0 граза соответственно. Между тем в 3,0 граза соот 3,0 log2 раза соответственно. Между тем, Mucor circinelloides представил высшую оценку. наибольшая способность солюбилизировать Zn в бульонах, содержащих ZnO и ZnP, по сравнению с контролем, способность солюбилизировать Zn в бульонах, содержащих ZnO и ZnP, по сравнению с контролем, при c log2-кратными изменениями в 7,8 и 2,4 соответственно. Примечательно, что Peniclium hordei и Pseudolog2 -кратные изменения составили 7,8 и 2.4 раза соответственно. В частности, Peniclium hordei и Pseudomonas. monas plecoglossicida NBRC 103162 не смогли растворить больше цинка, чем контроль. plecoglossicida NBRC 103162 не смогли растворить больше Zn, чем контроль.

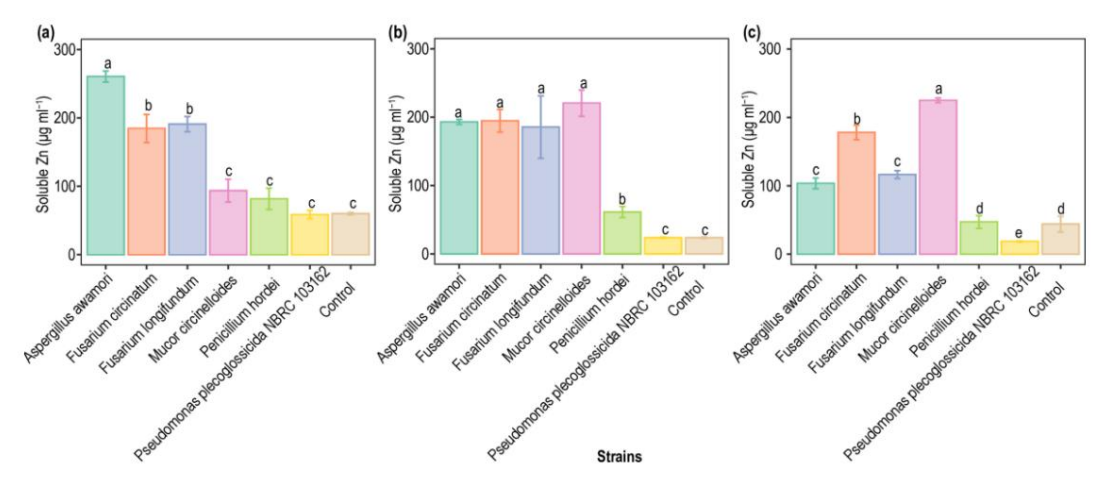


Рисунок 7. Концентрация растворенного Zn для шести выбранных штаммов и контроля в модифицированном бульоне Пиковской, содержащем сутем с. «Арвинаттра шух роствердного Зарада предприненты штаммов и контроля в модифицированном Результаты представл**ьну пьюн** Гриков в койнико дорожанций (а) Ала Сыкарбонат Тил, (б) Саобы в коментал и (в) ZnP: фосфат Zn. ошибки (n = 3). Разли**чненителичные буквылнад собобчарец нобозначенителизенителирира эспоирбы** представляют собой стандартные ошибки. логарифмических преобразований перед знализом ANOVA. Согласно тесту ANOVA, за которым следует тест Тьюки HSD. Данные для ZnO нормировались по логарифму.

преобразования перед анализом ANOVA. Солюбилизация Zn сопровождалась заметным сдвигом pH в сторону кислой области после семи дней

инкубации (таблица 3). Растворение Zn сопровождалось заметным сдвигом pH в сторону кислой среды.

значительное снижение pH для ZnO и ZnP по сравнению с контролем (диапазон -0,1 и -0,7 log2 раза после семи дней инкубации (табл. 3). Muçor circinelloides индуцировал наиболее изменения соответственно). Аналогичным образом, Aspergillus аwamori продемонстрировал наибольшее снижение pH, значительное снижение pH для ZnO и ZnP по сравнению с контролем (-0,1 и -0,7 log2 раза). по сравнению с контрольным лечением (изменение в -0,1 log2 раза). Эти штаммы представили изменения соответственно). Аналогичным образом, Aspergillus аwamori продемонстрировал наибольшее снижение pH. самая высокая концентрация растворимого Zn наряду с самым низким значением pH, что можно предположить по сравнению с контрольной обработкой (изменение в -0,1 log2 раза). Эти штаммы представили производство органических кислот и последующее подкисление сред. Корреляционный анализ выявил самую высокую концентрацию растворимого Zn наряду с самым низким значением pH, что может указывать на подтвердили обратную зависимость между снижением pH бульонов и количеством продукции органических кислот и последующим продкислением среды. Корреляционный анализ далее

кислот и последующим подкислением среды. Корреляционный анализ далее растворимого Zn, демонстрируя отрицательные корреляции для модифицированных бульонов Пиковской,

ZnC (r = -0,65; p = 0,01), ZnO (r = -0,60; p < 0,01) и ZnP (r = -0,93; p < 0,0001) в соответствии с растворимым Zn,

₩\$®¥Yeeta.

демонстрируя отрицательные корреляции для модифицированной Пиковской бульоны, содержащие прибегая к непараметрическому корреляционному тесту Спирмена.

ZnC (r = -0,65; p = 0,01), ZnO (r = -0,60; p < 0,01) и ZnP (r = -0,93; p < 0,0001) согласно

Таблица З. Среднее знач**ь.НЕПЯЛОДИБІЦИНУВЕККОМУ,КОРЛЕ ПЛЕНЬКОЙ НОЛОХ ЕЛЕСТЬЕБТИ ИЛЖОВЦИ**М с каждым из шести выбранных штаммов. Данные представляют собой среднее значение ± стандарт ошибки (n = 3). Разные буквы в одних и тех же столбцах

обозначают значительн**√абличца**∕Зр**€реднеелана-тесние прФУмодифіддироваенно гозбульножа Пиковской после семи дней инкубации с каждым из** шесть отобранных штаммов. Данные представляют собой среднее значение ± стандарт ошибки (n = 3). Разные буквы в одном и том же столбцы обозначают значительную разницу (р <0,05) согдаєно тесту ANOVA с последующим критерием Тьюки.

_ Аспергилл авамори	рн 6,77 ± 0,02 б		рн рн 6,73 ± 0,97,65,511 ± 0,06 кд рн рн		3нП	_
	Штаммы				pH	_
-	Аспергилл авамори	6 6,77 ± 0,02		6,73 ± 0,07 ^{КД}	5,11 ± 0,06 д.	С
	Фузариум кольцевидный	7,16 ± 0,14	a	6 7,06 ± 0,03 6	4,71 ± 0,11 5,00	
	Фузариоз лонгифундум	7,18 ± 0,04	a	± 0,09 r 6,68 ± ^{7,01}	± 0,06 4,40 ±	c
	Мукор циркулеллоидес	7,18 ± 0,05	a	бк 6,89 ± 0,09 ^{0,06}	0,01 6	е
	Пенициллум Хордей	$7,26 \pm 0,04$	a		5,96 ± 0,09	
	Pseudomonas plecoglossicida NBRC 103162	7,22 ± 0,06	a	6 6,99 ± 0,08	6,74 ± 0,06	а
	Контроль	7,29 ± 0,05	a	7,26 ± 0,05 a	6,94 ± 0,09	а

4. Дискуссия

Учитывая разнообразный химический состав почв, использование β-ТКФ в качестве универсального нерастворимого источника фосфора для выделения ПСМ ненадежно [24]. Таким образом, различные нерастворимые источники Р (β-ТСР, СаР и RP) или источники Zn (ZnC, ZnO и ZnP) были использованы для выделения 25 бактериальных и грибковых штаммов с P- или Zn-растворимыми способностями во время первоначального скрининга в СМИ. Было обнаружено , что среди 25 изолированных микробных штаммов 6 штаммов из родов Aspergillus, Fusarium, Mucor, Penicillum и Pseudomonas обладают способностью солюбилизировать несколько нерастворимых источников Р и/или Zn в средах. Эти результаты согласуются с предыдущими исследованиями, в которых микробы, принадлежащие к родам Aspergillus, Penicillum и Pseudomonas, были обнаружены в качестве доминирующих PSM и ZnSM в сельскохозяйственных почвах [32–34,44,4]

Чтобы установить эффективный процесс выбора PSM и ZnSM, шесть видов, прошедших первоначальный отбор, были протестированы на всех нерастворимых источниках P и Zn в различных условиях. Были обнаружены различия между средами и бульонами. Например, хотя Mucor circinelloides, Fusarium circinatum и Fusarium longifundum не имели ореолов для всех нерастворимых источников P в средах, они были способны солюбилизировать все нерастворимые источники P в бульонах. Pseudomonas plecoglossicida обнаруживала ореолы для всех нерастворимых источников P в средах, но только для растворенного β-TCP в бульонах. Это согласуется с предыдущими сообщениями о том, что род Pseudomonas имеет плохую растворимость и минерализацию P [53].

Аналогичные тенденции наблюдались и для Zn-носителей. Pseudomonas plecoglossicida NBRC 103162 демонстрировала ореол в среде, но не солюбилизацию Zn в бульонах. Напротив, Aspergillus awamori продемонстрировал самый высокий процент эффективности растворения Zn в средах, содержащих ZnC, что аналогично его способности солюбилизировать наибольшее количество Zn в бульоне с тем же нерастворимым источником. Аналогичные результаты были получены для Mucor circinelloides на средах и бульонах, содержащих ZnP. Однако эта тенденция не наблюдалась для сред и бульонов, содержащих ZnO. В соответствии с этими выводами другие исследователи сообщили о плохой корреляции между средами и бульонами для PSM из-за различий в скорости диффузии различных органических кислот, секретируемых в средах [24,47].

В бульонах, содержащих ПСМ и ZnSM, обнаружена обратная зависимость между растворимым Р или Zn и pH. Эта тенденция была особенно очевидна у Asperqillus awamori и Mucor circinelloides, что подчеркивает потенциальную роль продукции органических кислот в солюбилизации Р и Zn, как ранее сообщалось другими авторами [24,47,49,54]. Несмотря на то, что грибы производят больше органических кислот, чем бактерии [49,53], тип и количество образующихся органических кислот могут варьироваться в зависимости от времени и температуры инкубации, а также от нерастворимого источника [47,55]. Это потенциально может объяснить, почему в этом исследовании грибы продемонстрировали большую способность солюбилизировать Р и Zn по сравнению с бактериями, а также различия в способностях к солюбилизации между изолятами. Этот результат согласуется с другими исследованиями, в которых грибы продемонстрировали большую эффективность в растворении нерастворимых источников Р, таких как В-TCP и RP [56] и источников Zn, включая ZnO, ZnP и сульфат Zn [29], по сравнению с бактериями. Для Aspergillus awamori, Fusarium circinatum, Fusarium longifundum и Mucor circinelloides, которые также продемонстрировали способность минерализовать нерастворимые источники органического фосфора, эта способность может быть связана с такими ферментами, как фосфатазы и фитазы [24,47,53]. Хотя в некоторых исследованиях также сообщалось о способности родов Mucor и Fusarium растворять Р [47,55,57-60], информации об их способности растворять Zn нет. Однако это исследование впервые продемонстрировало, что штаммы родов Mucor и Fusarium способны растворять Zn.

Это исследование показало, что грибы показали большую потенциальную эффективность в качестве PSM и ZnSM, чем бактерии в сельскохозяйственных почвах в условиях севооборота и почвенных удобрений. Fusarium circinatum и Fusarium longifundum были выделены из обрабатываемых почв в условиях севооборота. Mucor circinelloides также был идентифицирован как в возделываемых почвах, так и в почвенных добавках, а Aspergillus awamori был обнаружен в почвенных добавках. Однако разнообразные почвенные условия в невозделываемых почвах и почвенных добавках создают проблемы в определении того, как эти условия влияют на присутствие и эффективность различных видов микробов. Аналогичные результаты были продемонстрированы в исследованиях, показывающих, что эффективные PSM и ZnSM более распространены в системах севооборота, чем в невозделываемых средах из-

вырашивать корни растений, обеспечивая определенные питательные вещества, которые способствуют дифференциальному росту микробов, что, в свою очередь, влияет на состав и плотность почвенного микробного сообщества [3 Другое исследование сравнило плотность населения и биогеографическое распределение PSM из 40 различных мест по всему Китаю и показало, что PSM более распространены в сельскохозяйственных почвах, чем в пустынях, лесах, лугах и минированных почвах [34]. Аналогичным образом, предыдущее исследование также продемонстрировало, что использование земель (например, невозделываемая почва и культивируемые почвы) может оказывать выраженное влияние на способность солюбилизации штаммов, даже принадлежащих к одному и тому же роду [20,61,62]. В этом исследовании авторы сообщили, что невозделываемые почвы демонстрируют более эффективные ПСМ по сравнению с возделываемыми почвами из-за низкой способности ПСМ в возделываемых почвах в результате интенсивных сельскохозяйственных методов. Для продвижения эффективных УЗП в исследовании рекомендуется применять устойчивые методы ведения сельского хозяйства и органичес Таким образом, это исследование показывает, что органические удобрения почвы и хорошие сельскохозяйственные методы , такие как севооборот, могут способствовать эффективному использованию PSM и ZnSM. Тем не менее, оценить взаимосвязь между их распространенностью и такими параметрами, как доступные уровни Р и Zn, а также процентное содержание органических веществ, оказалось затруднительно изза различий в этих параметрах, поскольку почвенные добавки имели более высокие значения по сравнению с возделывае

Настоящее исследование также показало, что, хотя важно проверять PSM и ZnSM с использованием различных нерастворимых источников P и Zn в средах, качественный скрининг должен дополняться количественным скринингом в бульонах для выявления эффективных PSM и ZnSM. Это исследование также подчеркивает потенциал использования микробных консорциумов для растворения/минерализации различных нерастворимых источников почвы, что может значительно повысить урожайность и качество сельскохозяйственных культур. Включение специфических грибов, таких как Fusarium circinatum и Fusarium longifundum, а также Mucor circinelloides и Aspergillus awamori, увеличивает этот потенциал. Эти результаты подчеркивают важность разнообразных видов микробов в улучшении биофортификации почвы и, следовательно, продуктивности сельского хозяйства.

5. Выводы

В заключение, принятие более эффективного подхода к идентификации эффективных PSM и ZnSM предполагает изоляцию штаммов из различных почв или методов управления почвой, таких как системы севооборота или удобрения почвы. Наши результаты показали, что некоторые штаммы грибов не образовывали гало-зоны на чашках с агаром, но проявляли солюбилизацию в жидких средах, тогда как бактериальные штаммы образовывали гало-зоны, но демонстрировали более низкую солюбилизацию в жидких средах по сравнению со штаммами грибов. Это подчеркивает, что солюбилизация Р и Zn варьируется в зависимости от нерастворимых источников и инокулированных штаммов. Таким образом, хотя тесты в средах с различными нерастворимыми источниками Р и Zn в тандеме служат ценным методом предварительного скрининга для сужения штаммов, дополнительные тесты в бульонах целесообразны, чтобы обеспечить приемлемые показатели солюбилизирующей способности Р и Zn, а также выявить эффективные ПСМ и ЗнСМ. Из 25 изолятов Aspergillus awamori, Fusarium circinatum, Fusarium longifundum и Mucor circinelloides были выбраны как наиболее эффективные штаммы для растворения Р и Zn. Это исследование также показало, что штаммы родов Mucor и Fusarium способны растворять Zn. Несмотря на их способность высвобождать Р как из органических, так и из неорганических источников, а также Zn из различных источников, учитывая сложность почвенных условий по сравнению с условиями in vitro, перед рассмотрением вопроса о применении следует провести дальнейшие исследования их взаимодействия . Дальнейшие исследования также должны изучить совместное воздействие этих PSM и ZnSM из разных сред с целью разработки композитного биоудобрения с более качественными и многофункциональными свойствами. Это может повысить биодоступность Р и Zn и повысить их эффективность в полевых условиях, несмотря на сложные факторы, такие как свойства почвы, условия окружающей среды и конкуренция с местными почвенными микроорганизмами.

Вклад авторов: концептуализация, SI-V., АА и JMV; методология, СИ-В. и АА; формальный анализ, СИ-В.; письменность — подготовка первоначального черновика, СИ-В.; написание — рецензирование и редактирование, SI-V., АА, ВR и JMV; визуализация, СИ-В.; надзор, JMV; приобретение финансирования, JMV. Все авторы прочитали и согласились с опубликованной версией рукописи.

Финансирование: Это исследование финансировалось за счет гранта Министерства сельского хозяйства США-ARS-Pulse Crop Health Initiative номер 58-30602032.

Заявление о доступности данных: данные, подтверждающие выводы этого исследования, можно получить у соответствующего автора по обоснованному запросу.

Конфликты интересов: Авторы заявляют об отсутствии конфликта интересов.

Рекомендации

- 1. Хоксфорд, М.; Хорст, В.; Кичей, Т.; Ламберс, Х.; Шёрринг, Дж.; Мёллер, И.С.; Уайт, П. Глава 6 Функции макронутриентов.

 В «Минеральном питании высших растений» Маршнера, 3-е изд.; Маршнер, П., ред.; Academic Press: Сан-Диего, Калифорния, США, 2012 г.; стр. 135–189, ISBN 978-0-12-384905-2.
- 2. Чакмак И.; Кутман Ю.Б. Агрономическая биофортификация зерновых цинком: Обзор. Евро. Дж. Почвоведение. 2018, 69, 172-180. [Перекрестная ссылка]
- 3. Харун, М.; Хан, С.; Малик, А. Бактерии, солюбилизирующие цинк: возможность увеличения поглощения цинка растениями. В микробных биоудобрениях и доступность микроэлементов; Шпрингер: Чам, Швейцария, 2022 г.; стр. 207–238, ISBN 978-3-030-76608-5.
- 4. Прасад Р.; Шивай, Ю.; Кумар, Д. Глава вторая. Агрономическая биофортификация зерна зерновых культур железом и цинком. В достижениях в агрономии; Elsevier: Амстердам, Нидерланды, 2014 г.; Том 125, стр. 55–91, ISBN 978-0-12-800137-0.
- 5. Чжу Дж.; Ли, М.; Уилан, М. Активаторы фосфора способствуют сохранению унаследованного фосфора в сельскохозяйственных почвах: обзор. наук. Тотальная среда. 2018, 612, 522–537. [Перекрестная ссылка]
- 6. Динеш Р.; Шринивасан, В.; Хамза, С.; Саратамбал, К.; Анке Гауда, SJ; Ганешамурти, АН; Гупта, СБ; Апарна Наир, В.; Субила, КП; Лижина, А.; и другие. Выделение и характеристика потенциальных бактерий, растворяющих Zn, из почвы и их влияние на скорость высвобождения Zn из почвы, доступный Zn в почве и содержание Zn в растениях. Геодерма 2018—321—173—186. [Перекрестная ссылка]
- 7. Ли, Х.-П.; Хан, Q.-Q.; Лю, Ц.-М.; Ган, Ю.-Н.; Ренсинг, К.; Ривера, WL; Чжао, К.; Чжан, Ж.-Л. Роль фосфатолюбилизирующих бактерий в обеспечении доступности фосфора в почве. Микробиол. Pes. 2023, 272, 127375. [CrossRef] [ПабМед]
- 8. Гупта, Д.К.; Чаттерджи, С.; Датта, С.; Вир, В.; Вальтер, К. Роль фосфорных удобрений в поглощении тяжелых металлов и детоксикации токсичные металлы. Хемосфера 2014, 108, 134–144. [Перекрестная ссылка] [ПабМед]
- 9. Маханти, Т.; Бхаттачарджи, С.; Госвами, М.; Бхаттачарья, П.; Дас, Б.; Гош, А.; Трибеди, П. Биоудобрения: потенциальный подход для устойчивого развития сельского хозяйства. Окружающая среда. наук. Загрязнение. Рез. 2017, 24, 3315–3335. [Перекрестная ссылка]
- 10. Сюй, Дж.; Фан, Л.; Се, Ю.; Ву, Г. Стратегия равновесия рециркуляции для контроля загрязнения фосфогипсом на заводах по производству фосфорных удобрений. Дж. Чистый. Прод. 2019, 215, 175–197. [Перекрестная ссылка]
- 11. Индраратне, СП; Шпенглер, М.; Хао, Х. Загрузка навоза крупного рогатого скота и влияние наследия на доступность меди и цинка в условиях неорошаемого земледелия. и орошаемые условия. Может. Дж. Почва. наук. 2021, 101, 305–316. [Перекрестная ссылка]
- 12. Абоеджи, К.; Дансин, О.; Аруна Оласекан, А.; Сулейман, К.; Чинедум, К.; Вера, О.; Джозеф, А.; Эджуэ, В.; Адесола, О.; Олофинтойе, Дж.; и другие. Синергетическое и антагонистическое влияние внесенных в почву фосфорных и цинковых удобрений на продуктивность, минеральный состав и состав тяжелых металлов арахиса. Открытое сельское хозяйство. 2020, 5, 1–9. [Перекрестная ссылка]
- 13. Павинато, П.С.; Черубин, М.Р.; Солтангейзи, А.; Роча, GC; Чедвик, ДР; Джонс, Д.Л. Выявление фосфора, находящегося в почвенном наследии, продвигать устойчивое сельское хозяйство в Бразилии. наук. Отчет 2020, 10, 15615. [CrossRef]
- 14. Санчес-Родригес, Арканзас; Рей, доктор медицины; Нечате-Дриф, Х.; Кастильехо, магистр искусств; Йоррин-Ново, СП; Торрент, Дж.; дель Кампильо, МС; Сакристан, Д. Сочетание фосфорных и цинковых удобрений для повышения урожайности и качества зерна кукурузы, выращенной на средиземноморских почвах. наук. Отчет 2021, 11, 7427. [CrossRef] [ПабМед]
- 15. Цзоу, Т.; Чжан, Х.; Дэвидсон, Е.А. Глобальные тенденции использования фосфора в пахотных землях и проблемы устойчивого развития. Природа 2022, 611, 81-87. [Перекрестная ссылка]
- 16. Афкаирин А.; Диксон, ММ; Бьюкенен, К.; Ипполито, Дж.А.; Мантер, ДК; Дэвис, Дж. Г.; Виванко, Дж. М. Использование бактерий, нечувствительных к фосфорным (Р) удобрениям, для повышения биодоступности фосфора в ризосфере бобовых. Микроорганизмы 2024, 12, 353. [CrossRef] [Па6Мед]
- 17. ФАО. Будущее продовольствия и сельского хозяйства: тенденции и проблемы; Продовольственная и сельскохозяйственная организация Объединенных Наций: Рим, Италия, 2017 г.; ISBN 978-92-5-109551-5.
- 18. Наташа Н.; Шахид, М.; Биби, И.; Икбал, Дж.; Халид, С.; Муртаза, Б.; Бахат, ХФ; Фарук, АВU; Амджад, М.; Хаммад, Его Величество; и другие. Цинк в системе почва-растение-человек: обзор анализа данных. наук. Тотальная среда. 2022, 808, 152024. [CrossRef] [ПабМед]
- 19. Диксон, ММ; Афкаирин, А.; Дэвис, Дж. Г.; Читвуд-Браун, Дж.; Бьюкенен, СМ; Ипполито, Дж.А.; Мантер, ДК; Виванко, Дж. М. Одомашнивание томатов, а не последующее размножение, снижает микробные ассоциации, связанные с восстановлением фосфора. наук. Представитель 2024, 14, 9934. [CrossRef] [ПабМед]
- 20. Каур, Р.; Каур, С. Изменение бактерий, солюбилизирующих фосфаты, из целинных и сельскохозяйственных почв Пенджаба. Курс. Микробиол. 2020, 77, 2118–2127. [Перекрестная ссылка] [ПабМед]
- 21. Он, Ю.; Пантигосо, штат Ха; Ву, З.; Виванко, Дж. М. Совместная инокуляция Bacillus sp. и pseudomonas putida на разных стадиях развития действуют как биостимуляторы, способствующие росту, урожайности и усвоению питательных веществ томатами. Дж. Прил. Микробиол. 2019, 127, 196–207.

 [Перекрестная ссылка] [ПабМед]
- 22. Тарик, МR; Шахин, Ф.; Мустафа, С.; АЛИ, С.; Фатима, А.; Шафик, М.; Сафдар, В.; Шис, Миннесота; Хамид, А.; Насир, М.А. Фосфаторастворимые микроорганизмы, выделенные из лекарственных растений, улучшают рост мяты. ПерДж 2022, 10, e13782. [Перекрестная ссылка]

[Перекрестная ссылка] [ПабМел]

Прил. Микробиол. 2024, 4

- 23. Ван, К.; Пан, Г.; Лу, Х.; Ци, В. Микроорганизмы, растворяющие фосфор: потенциальные промоутеры сельскохозяйственных и экологических проблем. инженерия. Передний. Биоинж. Биотехнология. 2023, 11, 1181078. [CrossRef]
- 24. Арманде, М.; Махмуди, Н.; Носратабад, А. Скрининг и оценка бактерий, солюбилизирующих фосфаты, выделенных из прудов для аквакультуры, в пошаговой стратегии в качестве потенциального биоудобрения. Дж. Прил. Микробиол. 2022, 133, 15660. [CrossRef]
- 25. Пантигосо, ХА; Привет.; Мантер, ДК; Фонте, С.Дж.; Виванко, Дж. М. Фосфорорастворимые бактерии, выделенные из ризосферы дикого картофеля solanum Bulbocastanum, повышают рост современных сортов картофеля. Бык. Натл. Рез. Цент. 2022, 46, 224. [CrossRef]
- 26. Таллапрагада, П. Солюбилизация различных неорганических фосфатов Aspergillus niger и Penicilium oxalicum. Адв. Биоисследования
- 27. Икбал, У.; Джамиль, Н.; Али, И.; Хаснайн, С. Влияние бактериальных изолятов, солюбилизирующих цинк-фосфат, на рост vigna radiata. Анна. Микробиол. 2010. 60. 243–248. [Перекрестная ссылка]
- 28. Захир, А.; Малик, А.; Шер, А.; Мансур Кайсрани, М.; Мехмуд, А.; Улла Хан, С.; Ашраф, М.; Мирэа, З.; Карим, С.; Расул, М.

 Выделение, характеристика и влияние штаммов бактерий, солюбилизирующих фосфат-цинк, на рост нута (Cicer arietinum L.).

 Саудовская Дж. Биол. наук. 2019, 26, 1061–1067. [Перекрестная ссылка] [ПабМед]
- 29. Шейх, С.; Сараф, М. Оптимизация условий роста солюбилизирующих цинк бактерий и грибов, связанных с ростом растений. Дж. Адв. Рез. Биотехнология. 2017, 2, 1–9. [Перекрестная ссылка]
- 30. Эшаги Э.; Носрати, Р.; Оулия, П.; Мальбуби, Массачусетс; Гасеминежад, П.; Гянджали, М.Р. Характеристики солюбилизации цинка у эффективных почвенных бактерий, продуцирующих сидерофоры. Иран. Дж. Микробиол. 2019, 11, 419–430. [Перекрестная ссылка]
- сидерофоры. Иран. Дж. Микробиол. 2019, 11, 419–430. [Перекрестная ссылка]
 31. Ахмад И.; Ахмад, М.; Хусейн, А.; Джамиль, М. Комплексное использование фосфаторастворимого штамма Bacillus subtilis IA6 и цинксолюбилизирующего штамма Bacillus sp. Штамм IA16: многообещающий подход к улучшению роста хлопка. Фолиа Микробиол. 2021, 66, 115–
- 32. Боло, П.; Мучеру-Муна, МВт; Мвиричия, РК; Киньюа, М.; Аяга, Г.; Кихара, Дж. Влияние внесения навоза на фермах на потенциальное обилие микробных видов, солюбилизирующих цинк, в ферралсоле западной Кении. Сельское хозяйство 2023, 13, 2217. [CrossRef]
- 33. Боло, П.; Кихара, Дж.; Мучеру-Муна, М.; Нджеру, ЕМ; Киньюа, М.; Зоммер, Р. Внесение остатков, неорганических удобрений и извести влияет на растворяющие фосфор микроорганизмы и микробную биомассу при различных системах обработки почвы и земледелия в ферралсоле.

 Геодерма 2021, 390, 114962. [CrossRef]
- 34. Ли, Дж.; Лу, Дж.; Ван, Х.; Фанг, З.; Ван, Х.; Фэн, С.; Ван, З.; Юань, Т.; Чжан, С.; Оу, С.; и другие. Комплексный синтез раскрывает тайны микробов, солюбилизирующих фосфаты. Биол. Преподобный Кэмб. Филос. Соц. 2021. 96. 2771–2793. [Перекрестная ссылка]
- 35. Фернандес, Луизиана; Агарас, Б.; Уолл, LG; Вальверде, К. Численность и риботипы фосфатсолюбилизирующих бактерий у аргентинцев. сельскохозяйственные почвы при нулевой обработке почвы. Анна. Микробиол. 2015, 65, 1667–1678. [Перекрестная ссылка]
- 36. Джаякумар, П.; Гурусами Р.; Сактивел, Н. Микробиом ризосферной почвы и биогумуса и их применение для повышения плодородия почвы, борьбы с вредителями и патогенами для устойчивого сельского хозяйства. В области управления плодородием почвы в целях устойчивого развития; Спрингер: Сингапур, 2019 г.; стр. 189–210, ISBN 9789811359033.
- 37. Маттеоли, ФП; Пассарелли-Араужо, Х.; Рейс, RJA; да Роча, Луизиана; де Соуза, ЕМ; Аравинд, Л.; Оливарес, Флорида; Венансио, Т.М. Секвенирование генома и оценка свойств, способствующих росту растений, штамма serratia marcescens, выделенного из биогумуса.

 БМК Геном. 2018, 19, 750. [CrossRef] [ПабМед]
- 38. Хамида, Б.; Харини, Г.; Рупела, ОП; Вани, СП; Редди, Г. Стимулирование роста кукурузы фосфаторастворимыми бактериями выделены из компостов и макрофауны. Микробиол. Рез. 2008, 163, 234–242. [Перекрестная ссылка] [ПабМед]
- 39. Карнвал, А. Pseudomonas spp., бактерии биогумуса, растворимые в цинке и способствующие росту растений, замедляющие содержание цинка. биофортификация томатов. Межд. Дж. Вег. наук. 2021, 27, 398–412. [Перекрестная ссылка]
- 40. Родригес, Дж.Б.; Селф, младший; Солтанпур, П.Н. Оптимальные условия для анализа фосфора методом аскорбиновой кислоты с молибденовым синим . Почвоведение. Соц. Являюсь. Лж. 1994. 58. 866–870. [Перекрестная ссылка]
- 41. Наутиял, К.С. Эффективная микробиологическая питательная среда для скрининга фосфаторастворимых микроорганизмов. ФЭМС Микробиол. Летт. 1999, 170, 265–270. [Перекрестная ссылка] [ПабМед]
- 42. Ли, К.С.; Зегбрук, СП; Лю, К.; Чжан С. Выделение и характеристика бактерий, солюбилизирующих фосфор, из ризосфер местные растения, выращенные на известковых почвах. Передний. Окружающая среда. наук. 2021, 9, 802563. [CrossRef]
- 43. Нгуен, К.; Ян, В.; Ле Такон, Ф.; Лапери, Ф. Генетическая изменчивость солюбилизирующей активности фосфатов монокариотическим и дикариотическим мицелием эктомикоризного гриба laccaria bicolor (maire) pd orton. Растительная почва 1992, 143, 193–199. [Перекрестная ссылка]
- 44. Миттал В.; Сингх, О.; Найяр, Х.; Каур, Дж.; Тевари, Р. Стимулирующее влияние фосфатолюбилизирующих штаммов грибов (aspergillus awamori и aenicillium citrinum) на урожайность нута (cicer arietinum l. cv. gpf2). Почвенная биол. Биохим. 2008, 40, 718–727.
- 45. Афкаирин А.; Ипполито, Дж.А.; Стромбергер, М.; Дэвис, Дж.Г. Солюбилизация органических источников фосфора цианобактериями и коммерчески доступный бактериальный консорциум. Прил. Почвенная Экол. 2021, 162, 103900. [CrossRef]
- 46. Ю, Г.; Смит, ДК; Чжу, Х.; Гуань, Ю.; Лам, ТТ-Ю. Ggtree: пакет г для визуализации и аннотирования филогенетических деревьев. с их ковариатами и другими связанными данными. Методы Экол. Эвол. 2017, 8, 28–36. [Перекрестная ссылка]
- 47. Бражникова Ю.В.; Шапошников А.И.; Сазанова А.Л.; Белимов А.А.; Мукашева, Т.Д.; Игнатова Л.В. Мобилизация фосфатов культивируемыми грибами и их способность увеличивать доступность фосфора в почве и способствовать росту ячменя. Курс. Микробиол. 2022, 79, 240. [Перекрестная ссылка] [ПабМед]
- 48. Ккан А.; Джилани, Г.; Ахтар, М.; Накви, СМС; Рашид, М.; Хан, А.; Ахтар, М.; Мухаммед, С.; Рашид, М. Бактерии, солюбилизирующие фосфор: возникновение, механизмы и их роль в растениеводстве. Дж. Агрик. Биол. наук. 2009, 1, 48–58.

- 49. Шарма, С.Б.; Сайед, Р.З.; Триведи, Миннесота; Гоби, Т.А. Микробы, солюбилизирующие фосфаты: устойчивый подход к управлению дефицит фосфора в сельскохозяйственных почвах. SpringerPlus 2013, 2, 587. [CrossRef] [ПабМед]
- 50. Хасан, М.; Авад, М. Молекулярная характеристика фосфатолюбилизирующих грибов aspergillus niger и ее корреляция с устойчивое сельское хозяйство. Дж. Энвайрон. Биол. 2020, 41, 592–599. [Перекрестная ссылка]
- 51. Ядав, Л.С.; Кушваха, В.; Джайн, А. Выделение и скрининг фосфатолюбилизирующих грибов из почвы ризосферы бамии и их влияние на рост растения бамии (Abelmoschous esculentus L.). Троп. Завод Рез. 2020. 7. 277–284. [Перекрестная ссылка]
- 52. Тиан, Дж.; Ге, Ф.; Чжан, Д.; Дэн, С.; Лю, Х. Роль микроорганизмов, солюбилизирующих фосфат, от управления дефицитом фосфора в почве до обеспечения биогеохимического р-цикла. Биология 2021. 10. 158. [CrossRef]
- 53. Алори, ET; Глик, БР; Бабалола О.О. Микробная солюбилизация фосфора и возможности ее использования в устойчивом сельском хозяйстве. Передний. Микробиол. 2017, 8, 971. [CrossRef]
- 54. Рават, П.; Дас, С.; Шанкдхар, Д.; Шанхдхар, С. Фосфаторастворимые микроорганизмы: механизм и их роль в солюбилизация и поглощение фосфатов. Дж. Почвоведение. Растение Нутр. 2020, 21, 49–68. [Перекрестная ссылка]
- 55. Сельви, К.; ЈЈА, П.; Велю, В.; К, С. Анализ эффективности микроорганизмов, солюбилизирующих фосфат, с помощью методов накопительных культур. Биохим. Мол. Биол. Дж. 2017, 3, 1–7. [Перекрестная ссылка]
- 56. Туран, М.; Атаоглу, Н.; Сахин, Ф. Оценка способности бактерий и грибов, солюбилизирующих фосфат, на различных формах фосфор в жидкой культуре. Дж. Сустейн. Сельское хозяйство. 2006, 28, 99–108. [Перекрестная ссылка]
- 57. Сулеман, Д.; Сани, А.; Суайб, С.; Амбардини, С.; Янти, Северная Каролина; Бур, Д.; Юсуф, Д.Н.; Фаад, Х. Выделение и идентификация потенциальных биоинокулянтов на основе солюбилизирующих фосфат плесеней из различных ризосфер растений. KnE Life Sci. 2022, 7, 99–109. [Перекрестная ссылка]
- 58. Сяо, Ц.-К.; Чи, Р.-А.; Хуанг, Х.-Х.; Чжан, W.-Х.; Цю, Г.-З.; Ван, Д.-З. Оптимизация растворения фосфатов путем Фосфатсолюбилизирующие грибы, выделенные из фосфатных рудников. Экол. англ. 2008, 2, 187–193. [Перекрестная ссылка]
- 59. Чжан Х.; Раджендран, А.; Гримм, С.; Солнце, Х.; Лин, Х.; Ее.; Ху, Б. Скрининг фосфора, ориентированного на кальций и железо.
- солюбилизирующие грибы для сельскохозяйственного производства. Ризосфера 2023, 26, 100689. [CrossRef]
 60. Вейерс, Э.; Строун, Д.Г.; Пик, Д.; Мур, АD; Бейкер, LL; Каде-Менун, Б. Видообразование фосфора в известковых почвах по
- ежегодные поправки на молочный навоз. Почвоведение. Соц. Являюсь. Дж. 2016, 80, 1531–1542. [Перекрестная ссылка]
- 61. Афкаирин А.; Стромбергер, М.; Стортебум, Х.; Уикхэм, А.; Стерл, генеральный директор; Дэвис, Дж.Г. Реакция почвенного микробного сообщества на цианобактерии по сравнению с традиционными органическими удобрениями. Сельское хозяйство 2023, 13, 1902. [CrossRef]
- 62. Диксон, М.; Симонна, Э.; Обреза, Т.; Лю, Г. Реакция сельскохозяйственных культур на низкую биодоступность фосфора с акцентом на томаты. Агрономия 2020, 10, 617. [CrossRef]

Отказ от ответственности/Примечание издателя: Заявления, мнения и данные, содержащиеся во всех публикациях, принадлежат исключительно отдельному автору(ам) и соавторам(ам), а не MDPI и/или редактору(ам). MDPI и/или редактор(ы) не несут ответственности за любой вред людям или имуществу, возникший в результате любых идей, методов, инструкций или продуктов, упомянутых в контенте.